

# AUTOMATSKO – USMENI

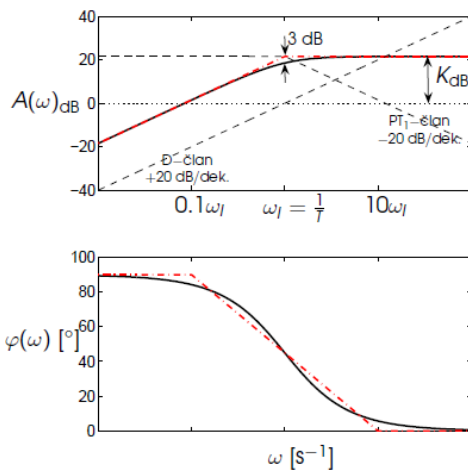
1. Nacrtati Bodeov dijagram za DT1 član, kako iz dijagrama odrediti odziv na sinusnu pobudu uz neki omega



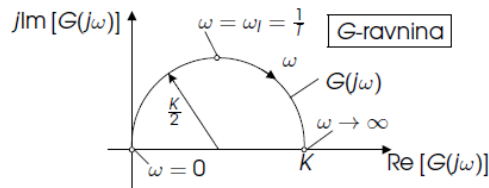
Najvažniji elementi u sustavima upravljanja

DT<sub>1</sub>-član

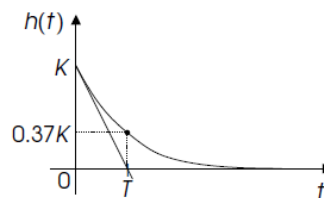
## Bodeov dijagram, Nyquistov dijagram, prijelazna funkcija



Slika 9.20 : Bodeov dijagram



Slika 9.21 : Nyquistov dijagram



Slika 9.22 : Prijelazna funkcija

Automatsko upravljanje :: Predavanje 09 - Prikaz sustava pomoću frekvencijske karakteristike

© 2013 Perić, Vukić, Baotić, Vatašak & Misković

37 / 68

2. Objasniti stabilnost preko Nyquista

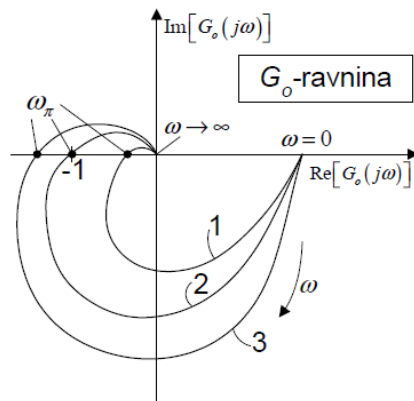


Grafički (grafoanalitički) kriteriji stabilnosti

Određivanje stabilnosti pomoću Nyquistova

## Grafička interpretacija fizikalnog objašnjenja (2)

- Razmotrimo sustave trećeg reda čiji su Nyquistovi dijagrami prikazani na Slici 12.4



1 – sustav **stabilan**

$$|G_O(j\omega_\pi)| < 1 \rightarrow Y_m < U_m, \varphi = -180^\circ$$

2 – sustav **na granici stabilnosti**

$$|G_O(j\omega_\pi)| = 1 \rightarrow Y_m = U_m, \varphi = -180^\circ$$

3 – sustav **apsolutno nestabilan**

$$|G_O(j\omega_\pi)| > 1 \rightarrow Y_m > U_m, \varphi = -180^\circ$$

Slika 12.4 : Nyquistovi dijagrami sustava trećeg reda

Automatsko upravljanje :: Predavanje 12 - Stabilnost linearnih kontinuiranih sustava upravljanja

© 2013 Perić, Vukić, Baotić, Vatašak & Misković

26 / 55

3. Bodeov i Nyquistov dijagram za čisto transportno kašnjenje  
Povećanjem mrtvog vremena spušta se fazna karakteristika i smanjuje se frekvencija  $\omega\pi$ . Na manjoj frekvenciji  $\omega\pi$  i amplitudno osiguranje je manje.
4. Nabrojati diskretizacije kontinuiranih sustava, koja čuva prijelaznu, koja težinsku funkciju  
**Z-transformacija** - Ovim se postupkom dobiva jednaka težinska funkcija kontinuiranog i njemu odgovarajućeg diskretnog sustava u trenutcima uzorkovanja  
**ZOH-diskretizacija** - Ovim se postupkom dobiva jednaka prijelazna funkcija kontinuiranog i njemu odgovarajućeg diskretnog sustava u trenutcima uzorkovanja

#### Definicijska relacija za bilinearnu transformaciju

- Bilinearna transformacija definirana je kao

$$z := \frac{1+w}{1-w} \rightarrow w = \frac{z-1}{z+1} = \frac{1-z^{-1}}{1+z^{-1}} \quad (16-13)$$

gdje je  $w$  kompleksna varijabla (odgovara kompleksnoj pseudofrekvenciji)

$$w = \frac{1 - e^{-j\omega T}}{1 + e^{-j\omega T}} = \frac{e^{j\omega \frac{T}{2}} - e^{-j\omega \frac{T}{2}}}{e^{j\omega \frac{T}{2}} + e^{-j\omega \frac{T}{2}}} = j \operatorname{tg} \frac{\omega T}{2} = jv \quad (16-14)$$

U izrazu (16-14)  $v$  predstavlja relativnu (bezdimenzijsku) pseudofrekvenciju (fiktivnu frekvenciju):

$$v = \operatorname{tg} \frac{\omega T}{2} \quad (16-15)$$

za koju vrijedi

$$-\omega_N \leq \omega \leq \omega_N \rightarrow -\infty \leq v \leq \infty \quad (16-16)$$

- Prema izrazu (16-16), imaginarna os osnovnog frekvencijskog pojasa diskretiziranog kontinuiranog sustava ( $-\omega_N \leq \omega \leq \omega_N$ ) preslikava se u imaginarnu os  $jv$  ( $-\infty \leq v \leq \infty$ ) – dolazi do promjene frekvencijskog mjerila
- Iz tog razloga uvodi se modifikacija bilinearne transformacije:

$$\Omega = \frac{2}{T}w = \frac{2}{T} \frac{z-1}{z+1} \rightarrow z = \frac{1 + \Omega \frac{T}{2}}{1 - \Omega \frac{T}{2}} \quad (16-17)$$

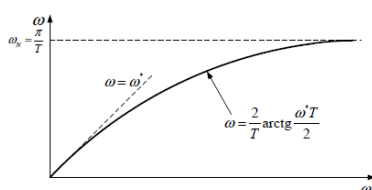
pri čemu je, za  $z = e^{j\omega T}$ ,  $\Omega$  kompleksna varijabla za koju vrijedi:

$$\Omega = j \frac{2}{T}v = j\omega^* \quad (16-18)$$

- Frekvencija  $\omega^*$  u izrazu (16-18) predstavlja apsolutnu pseudofrekvenciju dimenzije  $\frac{\text{rad}}{\text{s}}$

- Iz izraza (16-14) i (16-18) slijedi (Slika (16.6)):

$$\omega^* = \frac{2}{T}v = \frac{2}{T} \operatorname{tg} \frac{\omega T}{2} \rightarrow \omega = \frac{2}{T} \operatorname{arctg} \frac{\omega^* T}{2} \quad (16-19)$$



- Za dovoljno malo vrijeme uzorkovanja ( $\frac{\omega T}{2} \ll 1$ ) iz (16-19) slijedi ( $\operatorname{tg} \frac{\omega T}{2} \approx \frac{\omega T}{2}$ ) (Slika 16.6):

$$\omega^* = \frac{2}{T} \operatorname{tg} \frac{\omega T}{2} \approx \omega \quad (16-20)$$

Slika 16.6: Grafički prikaz relacije koja povezuje frekvenciju  $\omega$  s apsolutnom pseudofrekvencijom  $\omega^*$

- Relacija

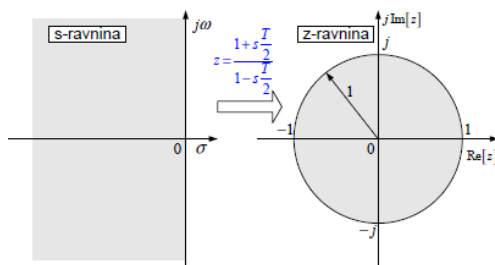
$$\frac{1}{s} = \frac{Tz + 1}{2z - 1} \quad (16-22)$$

naziva se **Tustinovom relacijom**: ona odgovara aproksimaciji operacije integriranja  $\left(\frac{1}{s}\right)$  operacijom **trapezne integracije**

- Tustinova relacija može se dobiti i prikazom veze  $z = e^{sT}$  Padeovom aproksimacijom prvog reda:

$$z = e^{sT} \approx \frac{1 + s\frac{T}{2}}{1 - s\frac{T}{2}} \rightarrow s = \frac{2z - 1}{Tz + 1} \quad (16-23)$$

- Tustinovom se relacijom polovi i nule lijeve poluravnine  $s$ -ravnine preslikavaju unutar jediničnog kruga  $z$ -ravnine (Slika 16.7) – diskretizirani sustav je stabilan ako i samo ako je polazni kontinuirani sustav stabilan



Slika 16.7 : Preslikavanje polova i nula Tustinovom relacijom

- Tustinovom se relacijom, k tome, dobro prenose frekvencijska svojstva kontinuiranog sustava u diskretnu domenu te se dobro aproksimira integrator
- Stoga se **Tustinov postupak** vrlo često koristi za emulaciju kontinuiranog regulatora digitalnim računalom (diskretizacija uz strelicu b na Slici 16.1)

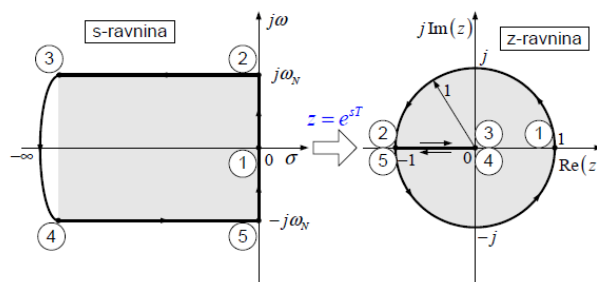
##### 5. Bilinearna transformacija, kako se preslikavaju polovi i nule kod nje (nacrtati)



Bilinearna transformacija

Bilinearna transformacija

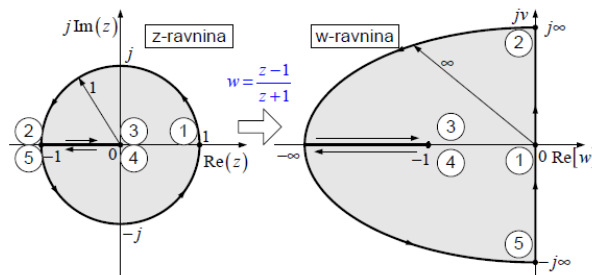
Preslikavanje područja stabilnosti iz  $s$ - u  $z$ -ravninu. Podsjetnik.



Slika 16.4 : Preslikavanje područja stabilnosti iz  $s$ -ravnine u  $z$ -ravninu

## Preslikavanje područja stabilnosti iz z- u w- ravninu

- Preslikavanje područja stabilnosti bilinearnom transformacijom
  - Prema (16-14), jedinična kružnica iz kompleksne z-ravnine preslikava se u imaginarnu os kompleksne w-ravnine (Slika 16.5)
  - Unutrašnjost jediničnog kruga u z-ravnini preslikava se u lijevu poluravninu w-ravnine (Slika 16.5)
  - Područje izvan jediničnog kruga u z-ravnini preslikava se u desnu poluravninu w-ravnine

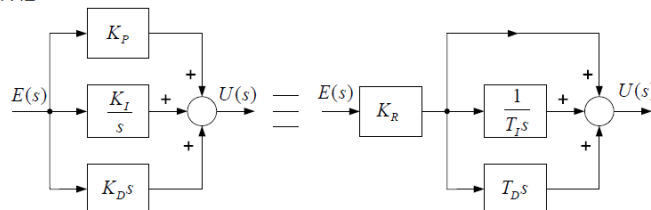


Slika 16.5 : Preslikavanje područja stabilnosti iz z-ravnine u w-ravninu

## 6. Napisati prijenosnu funkciju PID regulatora, realnu i idealnu, u čemu je razlika i zašto

## Idealni PID regulator (1)

- Najčešće korišteni **standardni regulator** je PID tipa prikazan na Slici 19.2



Slika 19.2 : Idealni PID regulator - paralelna (neinteraktivna) izvedba

- Prijenosna funkcija idealnog PID regulatora prema Slici 19.2 glasi:

$$G_R(s) = \frac{U(s)}{E(s)} = K_P + \frac{K_I}{s} + K_D s \equiv K_R \left( 1 + \frac{1}{T_I s} + T_D s \right) \quad (19-1)$$

## Realni PID regulator

- **Idealno D - vladanje ne može se tehnički realizirati.** Stoga se umjesto idealnog D - člana koristi  $DT_1$  - član:

$$G_D(s) = K_D \frac{s}{1 + T_\nu s}, \quad (19-9)$$

gdje je  $T_\nu$  - mala (**parazitna**) vremenska konstanta iznosa  $T_\nu = \frac{T_D}{\nu}$ ,  
 $\nu = 5 \div 20$

- Prijenosna funkcija realnog PID regulatora (**PID<sub>T1</sub>-regulatora**) glasi:

$$G_R(s) = K_P + \frac{K_I}{s} + K_D \frac{s}{1 + T_\nu s}, \quad (19-10)$$

odnosno

$$G_R(s) = K_R \left( 1 + \frac{1}{T_I s} + T_D \frac{s}{1 + T_\nu s} \right), \quad (19-11)$$

gdje su **podesivi parametri**:

$$K_R = K_P, \quad T_I = \frac{K_R}{K_I}, \quad T_D = \frac{K_D}{K_R}$$

## 7. Što je prijelazna funkcija?

### Prijelazna funkcija $h(t)$

- Prijelazna funkcija (engl. step response) predstavlja **odziv sustava na jediničnu skokovitu pobudu  $S(t)$**
- Skokovita funkcija** (odskočna funkcija, jedinični skok, engl. step function) definira se kao

$$S(t) = \begin{cases} 1 & \text{za } t > 0^- \\ 0 & \text{za } t < 0^- \end{cases} \quad (7-1)$$

- Ako je pobuda sustava

$$u(t) = u_0 S(t), \quad (7-2)$$

a njegov odziv  $y(t)$ , tada je za linearne sustave:

$$h(t) = \frac{y(t)}{u_0} \quad (7-3)$$

## 8. Što je prijenosna funkcija?

$$\frac{Y(s)}{U(s)} = \frac{b_m s^m + b_{m-1} s^{m-1} + \dots + b_1 s + b_0}{a_n s^n + a_{n-1} s^{n-1} + \dots + a_1 s + a_0} = G(s) = \frac{B(s)}{N(s)}$$

$G(s)$  se naziva prijenosnom funkcijom sustava  $Y(s) = G(s) \cdot U(s)$

odnosno izlazni signal sustava  $Y$  dobije se množenjem ulaznog signala  $U$  s "pojačanjem"  $G$  - signali i sustavi predstavljaju se na isti način

- Uvjet realizacije za prijenosnu funkciju  $G(s)$  glasi:  $\text{stupanj}\{B(s)\} \leq \text{stupanj}\{N(s)\}$
- Prijenosna funkcija sustava je L-transformacija impulsnog odziva sustava:  $G(s) = \mathcal{L}\{g(t)\}$

## 9. Zadana je električna mreža:

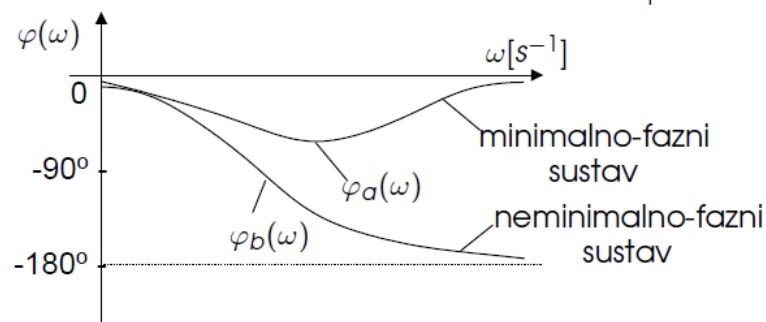
- Nađi prijelaznu funkciju (inverzni Laplace)
- Nacrtaj prijelaznu funkciju
- Što je pobuda na impuls i skiciraj odziv

## 10. Nacrtaj bodeov dijagram neminimalno faznog člana.

- Fazne karakteristike sustava  $G_a$  i  $G_b$

$$\varphi_a(\omega) = -\arctg(\omega T_1) + \arctg(\omega T) = -\arctg \frac{\omega(T_1 - T)}{1 + \omega^2 T_1 T}$$

$$\varphi_b(\omega) = -\arctg(\omega T_1) - \arctg(\omega T) = -\arctg \frac{\omega(T_1 + T)}{1 - \omega^2 T_1 T}$$



## 11. Kako iz fazne karakteristike možemo očitati je li sustav stabilan ili ne?

$$\begin{aligned} \varphi(\omega) &= \arg[G(j\omega)] = - \text{fazna karakteristika} \\ &= \arctg \frac{I(\omega)}{R(\omega)} \quad (\text{fazno-frekvencijska karakteristika}) \end{aligned}$$

12. Kako relativni koeficijent prigušenja utječe na prijelaznu funkciju, tj. na koje parametre on utječe?

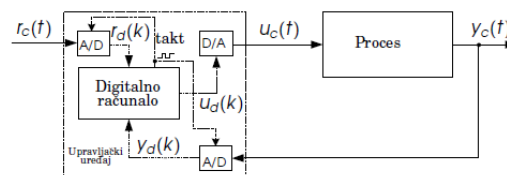
Određuje maksimalno nadvihenje prijelazne funkcije kontinuiranog sustava.

13. Objasni D/A i A/D pretvornike.



## Analogno-digitalni pretvornik

- Radi obradbe kontinuiranih signala povratne veze  $y_c(t)$  i referentne veličine  $r_c(t)$  vremenski diskretnim strojem – digitalnim računalom, potrebno ih je uzorkovati **analogno-digitalnim pretvornikom (A/D)**, Slika 14.4 (indeks "c" uz y i r naglašava da se radi o kontinuiranim signalima)



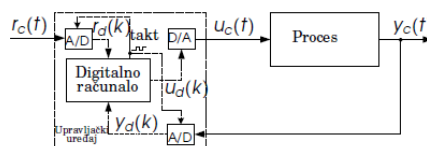
Slika 14.4 : Funkcionalna shema digitalnog sustava upravljanja

- Uzorak tih signala uzima se (uobičajeno) u ekvidistantnim vremenskim trenutcima, svakih  $T$  sekundi, gdje je  $T$  **vrijeme (period) uzorkovanja** (engl. sampling time)



## Digitalno-analogni pretvornik

- Signal  $u_d$  sadrži informaciju o iznosu upravljačkog signala kojim treba djelovati na proces, ali **ne i** za to potrebnu **energiju**
- Stoga je potrebno **rekonstruirati** kontinuirani upravljački signal  $u_c$  iz digitalnog signala  $u_d$  što se **obavlja digitalno-analognim pretvornikom (D/A)**



Slika 14.4 : Funkcionalna shema digitalnog sustava upravljanja

14. Nacrtaj Bodeov dijagram PT1 člana.

PT<sub>1</sub>-član – aproksimacija  $A(\omega)_{dB}$  i  $\varphi(\omega)$  pravcima (1)

- Logaritamska amplitudna karakteristika ima oblik:

$$A(\omega)_{dB} = 20 \log K - 20 \log \sqrt{1 + \left(\frac{\omega}{\omega_I}\right)^2}$$

- Za  $\omega \ll \omega_I$  slijedi:

$$A(\omega)_{dB} \approx 20 \log K = K_{dB}, \quad \varphi(\omega) \approx 0$$

gdje se  $K_{dB}$  naziva početnom (niskofrekvencijskom) asimptotom PT<sub>1</sub>-člana

- Za  $\omega \gg \omega_I$  slijedi:

$$A(\omega)_{dB} \approx 20 \log K - 20 \log \frac{\omega}{\omega_I}, \quad \varphi(\omega) \approx -\frac{\pi}{2}$$

pri čemu je  $20 \log K - 20 \log \frac{\omega}{\omega_I}$  tzv. krajnja (visokofrekvencijska) asimptota PT<sub>1</sub>-člana

- Na Bodeovu se dijagramu može  $A(\omega)_{dB}$  aproksimirati pomoću navedena dva pravca (asimptote) čije je presjecište na frekvenciji  $\omega_I$  jer jednakost

$$20 \log K = 20 \log K - 20 \log \frac{\omega}{\omega_I}$$

vrijedi za  $\omega = \omega_I$

- Egzaktne vrijednosti  $A(\omega)$  i  $\varphi(\omega)$  na lomnoj frekvenciji su:

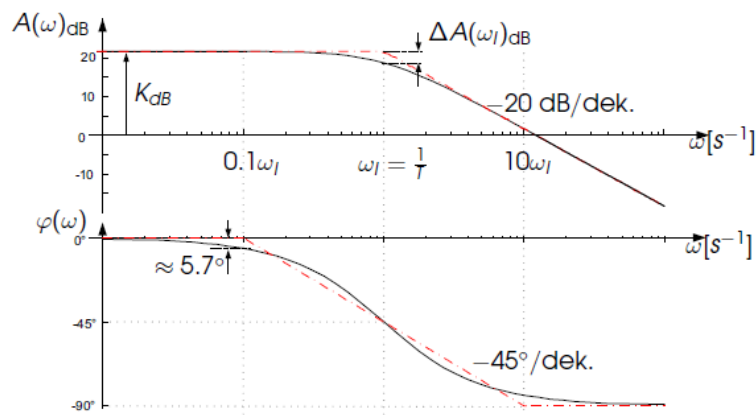
$$A(\omega_I) = \frac{K}{\sqrt{2}}, \quad \varphi(\omega_I) = -\frac{\pi}{4}$$

- Odstupanje amplitudne karakteristike na lomnoj frekvenciji uvjetovano aproksimacijom je

$$\Delta A(\omega_I)_{dB} = 20 \log K - [20 \log K - 20 \log \sqrt{2}] \approx 3 \text{ dB}$$

- Faznu karakteristiku aproksimira se

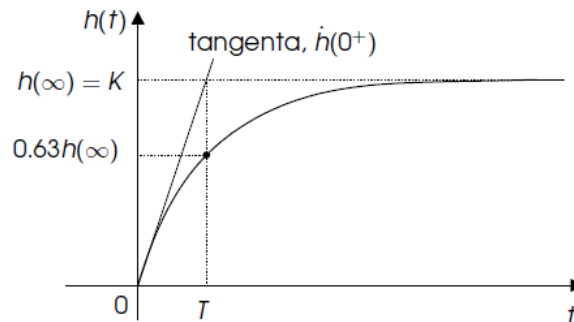
- asimptotom  $\varphi = 0^\circ$  na frekvencijama  $\omega < 0.1 \omega_I$
- asimptotom  $\varphi = -90^\circ$  na frekvencijama  $\omega > 10 \omega_I$
- pravcem pod nagibom  $-45^\circ/\text{dek}$  kroz preostale dvije dekade



15. Nacrtaj prijelaznu funkciju PT1 člana.

### Vremenska konstanta PT<sub>1</sub>-člana

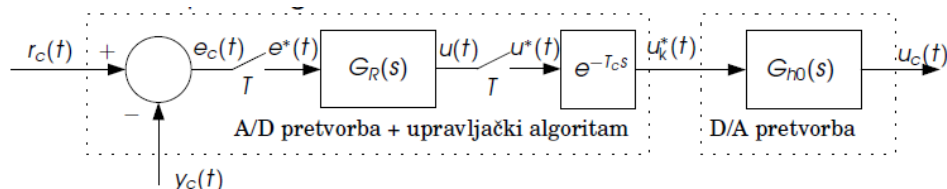
- Konstanta  $T = \frac{1}{\omega_j}$  u prijenosnoj funkciji ili frekvencijskoj karakteristici obično se označava **vremenskom konstantom** PT<sub>1</sub>-člana
- $T$  se lako može odrediti na temelju prijelazne funkcije PT<sub>1</sub>-člana



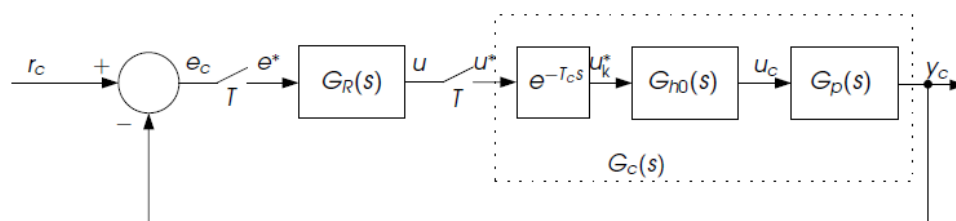
16. Imate PT1 član sa astatizmom prvog reda - kako izgleda prijelazna funkcija takvog procesa i koji bi ZN postupak koristili za parametriranje?

Kako sustav ima astatizam 1. reda (integrator, pol u ishodištu...) nije moguće koristiti postupak na osnovi prijelazne funkcije. Prilikom izvođenja njihovog postupka u sustav zatvoren s povratnom vezom se dodaje pojačanje  $K$  dok sustav ne zaoscilira sa trajnim oscilacijama pri kritičnom pojačanju  $K_{kr}$ . Tada se izmjeri perioda osciliranja  $T_{kr}$  i s njom se kreće u izračun prema preporukama. Iznos pojačanja u stvari odgovara pojačanju  $K_{kr}$  jer će sustav u «trajnim oscilacijama» biti upravo granično stabilan.

17. Nacrtaj digitalni i diskretni sustav upravljanja.



Slika 14.21 : Blokova shema digitalnog upravljačkog uređaja u vremenski kontinuiranoj domeni



Slika 14.22 : Blokova shema diskretnog sustava upravljanja prikazanog u vremenski kontinuiranoj domeni



## 18. Preslikavanja:

### a. uskladjeni polovi i nule

#### Postupak usklađenih polova-nula (1)

- Neka je prijenosna funkcija kontinuiranog sustava:

$$G(s) = K \frac{\prod_{i=1}^m (s - s_{Ni})}{\prod_{l=1}^n (s - s_{Pl})}, \quad n \geq m \quad (16-3)$$

- Polovi i nule prijenosne funkcije diskretnog sustava određuju se kako slijedi

- Preslikavanjem  $z = e^{sT}$  preslikaju se polovi i konačne nule:

$$z_{Pl} = e^{s_{Pl}T} \quad (16-4)$$

$$z_{Ni} = e^{s_{Ni}T} \quad (16-5)$$

- Za sustave kod kojih je  $n - m > 1$  dodatnih  $n - m - 1$  nula postavlja se u  $z = -1$

- Nule u  $z = -1$  odgovarale bi ustvari nulama u  $s = j\omega_N$ , pri čemu je uz pravilno odabrano vrijeme uzorkovanja, za sustave sa svojstvom niskog propusta,  $G(j\omega_N) \approx 0$
- Prema tome, prijenosna funkcija diskretnog sustava koja odgovara prijenosnoj funkciji (16-3) ima oblik:

$$G(z) = K^* \frac{(z + 1)^{\max(n-m-1, 0)} \prod_{i=1}^m (z - z_{Ni})}{\prod_{l=1}^n (z - z_{Pl})} \quad (16-6)$$

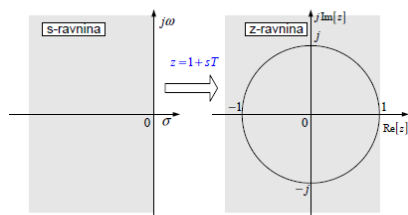
- Pojačanje  $K^*$  određuje se na način da frekvencijske karakteristike kontinuiranog i diskretnog sustava u nekoj točki imaju jednak modul; najčešće je to pojačanje na frekvenciji  $\omega = 0$  ( $s = j0 \rightarrow z = e^{j0 \cdot T} = 1$ ):

$$\lim_{s \rightarrow 0} |G(s)| = \lim_{z \rightarrow 1} |G(z)| \quad (16-7)$$

### b. Euler unapred

#### Preslikavanje polova i nula iz s- u z-ravninu

- Aproximacija derivacije unaprijednom diferencijom preslikava imaginarnu os s-ravnine u pravac paralelan imaginarnoj osi u z-ravnini, a koji prolazi točkom  $z = +1$  (Slika 16.8)

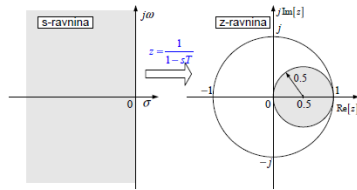


Slika 16.8: Preslikavanje polova i nula pri diskretizaciji aproksimacijom derivacije Eulerovom unaprijednom diferencijom

- Ovo implicira da će doći do degradacije frekvencijskih svojstava kontinuiranog sustava jer se  $j\omega$ -os ne preslikava u jediničnu kružnicu
- Također je moguće diskretizacijom stabilnog kontinuiranog sustava ovim postupkom dobiti nestabilan diskretni sustav, što nije prihvatljivo
- Da bi se ovi učinci umanjili, potrebno je odabrati vrlo malo vrijeme uzorkovanja

### c. Euler unazadni

- Aproksimacija derivacije unazadnom diferencijom preslikava imaginarnu os  $s$ -ravnine u kružnicu radijusa 0.5, s centrom u 0.5 (Slika 16.9)



Slika 16.9: Preslikavanje polova i nula pri diskretizaciji aproksimacijom derivacije Euler unazadnom diferencijom

- Ovo implicira da će opet doći do degradacije frekvencijskih svojstava kontinuiranog sustava jer se  $j\omega$ -os ne preslikava u jediničnu kružnicu
- Diskretizacijom stabilnih kontinuiranih sustava uvijek se dobiva stabilni diskretni sustav
- Diskretizacija ovim postupkom u pravilu se obavlja uz vrlo mala vremena uzorkovanja

### d. Z – transformacija

Diskretizacija kojom se u diskretnoj domeni zadržavaju svojstva kontinuirane težinske funkcije

- Ovim se postupkom dobiva jednaka težinska funkcija kontinuiranog i njemu odgovarajućeg diskretnog sustava u trenucima uzorkovanja:

$$G(z) = \mathcal{Z}[g(kT)] = \mathcal{Z}\{G(s)\} \quad (16-1)$$

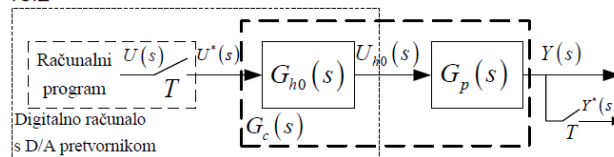
- Primjer 16.1: Diskretizacija integratora

$$G(s) = \frac{a}{s} \xrightarrow{\text{Primjenom tablica Z-transformacije}} G(z) = \mathcal{Z}\left\{\frac{a}{s}\right\} = \frac{az}{z-1}$$

### e. ZOH

Diskretizacija kojom se u diskretnoj domeni zadržavaju svojstva kontinuirane prijelazne funkcije (1)

- Ovim se postupkom dobiva jednaka prijelazna funkcija kontinuiranog i njemu odgovarajućeg diskretnog sustava u trenucima uzorkovanja
- Koristi se onda kada se proces upravlja digitalnim računalom pri čemu se računalno povezuje na proces pomoću D/A pretvornika, tj. ZOH elementa
- Iz tog razloga ova se diskretizacija naziva i ZOH diskretizacijom, vidi Sliku 16.2



Slika 16.2: ZOH diskretizacija

$$\begin{aligned} G_p(z) &= \mathcal{Z}\{G_c(s)\} = \mathcal{Z}\{G_{ho}(s) \cdot G_p(s)\} = \\ &= \mathcal{Z}\left\{\frac{1-e^{-sT}}{s} G_p(s)\right\} = (1-z^{-1})\mathcal{Z}\left\{\frac{G_p(s)}{s}\right\} \end{aligned}$$

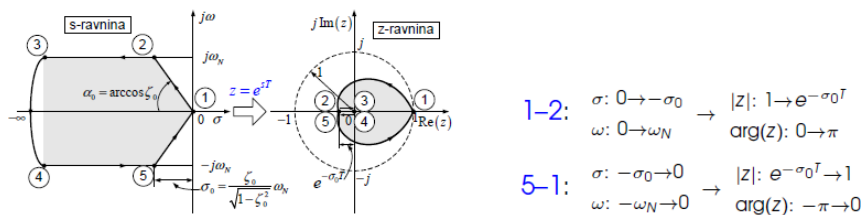
## 19. Koja diskretizacija ne može destabilizirati stabilan sustav?

Eulerovom unazadnom se uvijek dobiva stabilni diskretni sustav.

## 20. Kako se preslikava neki zadani faktor prigušenja (zeta) iz s u z područje?

### Preslikavanje područja dozvoljenog iznosa prigušenja

- Relativni koeficijent prigušenja  $\zeta$  dominantnog para polova kontinuiranog sustava  $s_{p1,2} = -\zeta\omega_n \pm j\omega_n\sqrt{1-\zeta^2}$  određuje maksimalno nadvišenje prijelazne funkcije kontinuiranog sustava  $\sigma_m[\%] = e^{-\frac{\zeta\pi}{\sqrt{1-\zeta^2}}} \cdot 100$
- Preslikavanjem polova iz stabilnog dijela osnovnog pojasa s-ravnine, sa  $\zeta > \zeta_0$  ( $\sigma_m < \sigma_{m0}$ ), dobivamo mjesta polova u z-ravnini uz koje se postiže odgovarajuće prigušenje diskretnog sustava (Slika 15.5)



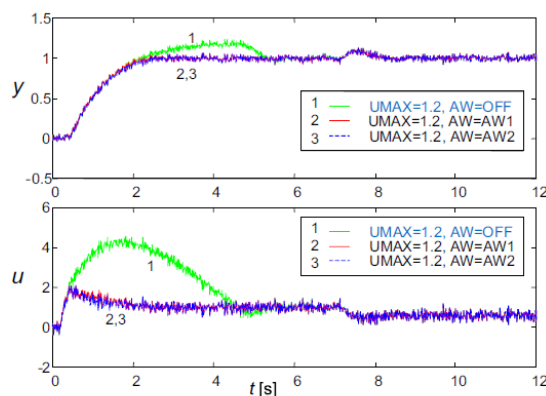
Slika 15.5 : Preslikavanje područja dozvoljenog prigušenja

## 21. Kada se koristi windup premotavanje integratora?

### Ograničavanje izlazne veličine regulatora (1)

- Pri projektiranju regulatora posebno se mora voditi računa o ograničenjima izvršnog elementa kojemu regulator prosljeđuje upravljački signal (npr. regulacijski ventil ne može biti otvoren više od 100% niti zatvoren više od 0%, motor se ne smije vrtjeti brzinom većom od maksimalno dopuštene brzine određene konstrukcijskim parametrima)
- Često je potrebno ograničiti i brzinu promjene upravljačkog signala (npr. radi ograničenja brzine promjene struje armature istosmjernog motora zbog opasnosti od oštećenja kolektora)
- Stoga je potrebno ograničiti iznos ( $u$ ) i brzinu promjene ( $\frac{du}{dt}$ ) izlazne veličine regulatora (vidi Sliku 21.12)
- Ulaskom upravljačkog signala u ograničenje prekida se povratna veza i sustav radi u otvorenoj petlji, budući da izvršni element ostaje u graničnom položaju neovisno o izlaznom signalu regulatora
- U tom slučaju će PID regulator (kao i svi regulatori koji sadrže integracijsku komponentu) nastaviti integrirati regulacijsko odstupanje pa izlaz regulatora  $u(t)$  može poprimiti vrlo veliku vrijednost (Slika 21.11, krivulje označene s 1)

### Ograničavanje izlazne veličine regulatora (2)



- Pri smanjenju regulacijskog odstupanja regulator vrlo sporo izlazi iz ograničenja
- Ovaj se efekt naziva "efektom namatanja" (engl. "wind-up" effect, integral wind-up effect) ili "efektom zaleta" (njem. Anfahrereffekt)

Slika 21.11 : Ilustracija "efekta zaleta" i sprječavanja njegove pojave (u trenutku  $t=7.5$  s djeluje poremećaj na sustav upravljanja)

22. Prijenosnu funkciju PT2 člana i objasniti šta je šta u formuli

### Element s usporenjem drugog reda (PT<sub>2</sub>-član) (2)

- Opći oblik prijenosne funkcije drugog reda bez konačnih nula je

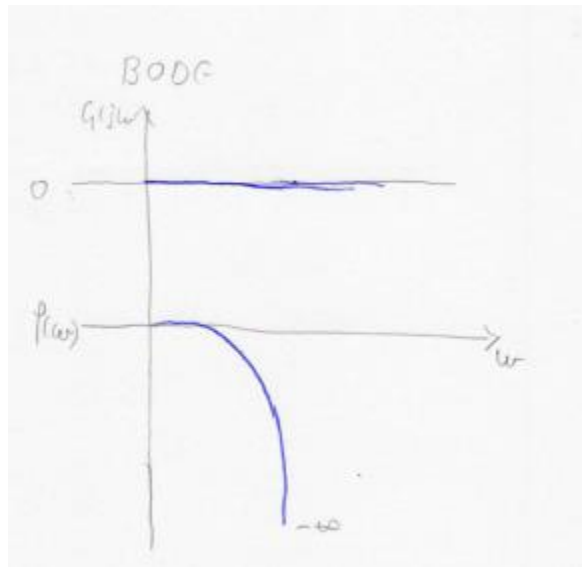
$$G(s) = \frac{K}{\frac{s^2}{\omega_n^2} + \frac{2\zeta}{\omega_n}s + 1}, \quad (9-25)$$

gdje je:

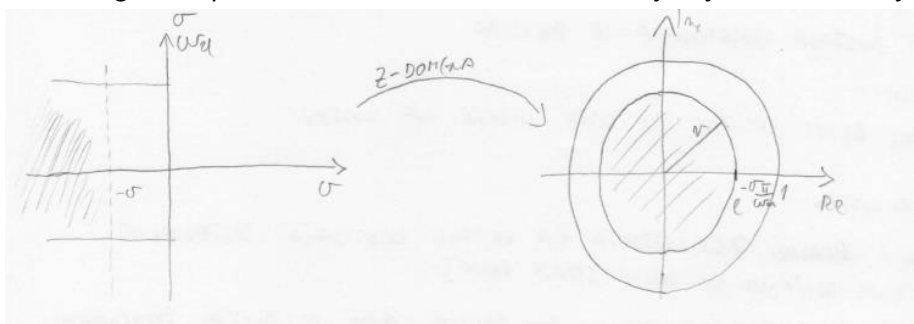
- $\zeta$  – relativni koeficijent prigušenja
- $\omega_n \hat{=} \omega_0$  – prirodna (vlastita) frekvencija neprigušenih oscilacija

23. Nacrtati težinsku funkciju neke prijelazne funkcije koju on nacrtava  $g(t) = dh(t)/dt$

24. Amplitudna i fazna karakteristika člana s transportnim kašnjenjem



25. Što se događa sa polovima iz s u z ravninu ako se smanji vrijeme uzorkovanja



Mala kružnica se približava jediničnoj kružnici, sve dok ne pređe u nestabilno stanje.

## 26. Ziegler-Nichols 1, rub stabilnosti

### Metoda ruba stabilnosti (Varijanta I)

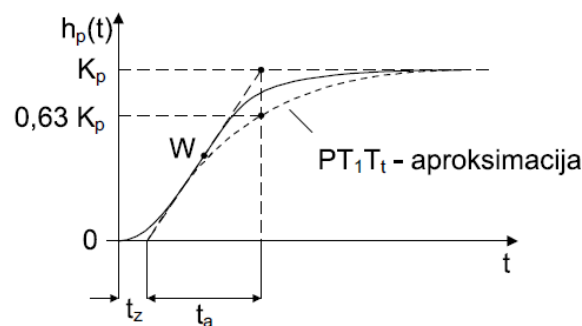
Ovdje se provode sljedeći koraci:

- 1 Standardnom regulatoru koji se nalazi u zatvorenom regulacijskom krugu odabere se **samo P** djelovanje (**isključena I i D djelovanja**)
- 2 Pojačanje  $K_R$  regulatora tako se dugo **povećava** dok se u zatvorenom regulacijskom krugu ne proizvedu **trajne oscilacije**. Pojačanje uz koje se dobiju trajne oscilacije označava se **kritičnim pojačanjem regulatora  $K_{Rkr}$**  (*engl. ultimate gain*)
- 3 Mjeri se iznos perioda  $T_{kr}$  - **kritični iznos perioda** (*engl. ultimate period*)
- 4 Na temelju  $K_{Rkr}$  i  $T_{kr}$  određuju se vrijednosti parametara regulatora ( $K_R$ ,  $T_I$  i  $T_D$ ) pomoću relacija danih u **Tablici 20.3**

## 27. Ziegler-Nichols 2, prijelazna funkcija

### Metoda prijelazne funkcije (Varijanta II)

- Često je nemoguće (štetno) dovoditi regulacijske krugove u postrojenjima i procesima u granično stabilno stanje
- Međutim, **određivanje** (mjerenje) prijelazne funkcije  $h_p(t)$  procesa (u otvorenom regulacijskom krugu) **u pravilu ne predstavlja poteškoću**
- Stoga je **druga varijanta** Ziegler - Nicholsovih pravila parametriranja regulatora u tim slučajevima pogodnija, a **temelji se na nagibu tangente u točki infleksije  $\frac{K_p}{T_a}$**  i na **vremenu zadržavanja  $t_z$**  prijelazne funkcije  $h_p(t)$  (Slika 20.3)
- Iz vrijednosti  $t_z$  i  $\frac{K_p}{T_a}$  te izraza danih u **Tablici 20.4** jednostavno se odrede **vrijednosti parametara regulatora**
- Mnogi industrijski procesi mogu se opisati prijelaznom funkcijom  $h_p(t)$  s čistim aperiodskim vladanjem kakvo je prikazano na Slici 20.3



Slika 20.3 : Aproksimacija PT - člana višeg reda pomoću  $PT_1 T_t$  - člana

## 28. ISE kriterij

### ISE kriterij (1)

- ISE kriterij (izračunavanje kvadratične površine regulacijskog odstupanja) pokazao se **veoma prikladnim** u mnogim primjenama
- Pri izračunavanju kvadratične površine regulacijskog odstupanja  $\int_0^\infty e^2(t) dt$  **polazi se od kompozicijskog teorema o konvoluciji** u frekvencijskom području ( $p$  kompleksna varijabla integracije):

$$\mathcal{L}\{f_1(t)f_2(t)\} = \int_0^\infty f_1(t) \cdot f_2(t) e^{-st} dt = \frac{1}{2\pi j} \int_{c-j\infty}^{c+j\infty} F_1(p) \cdot F_2(s-p) dp \quad (20-4)$$

- Uz izbor  $s = c = 0$  i  $f_1(t) = f_2(t) = f(t)$  dobije se **Parsevalova jednadžba**:

$$\int_0^\infty f^2(t) dt = \frac{1}{2\pi j} \int_{-j\infty}^{+j\infty} F(p) \cdot F(s-p) dp \quad (20-5)$$

- Pri tome se pretpostavlja da integrali  $\int_0^\infty |f(t)| dt$  i  $\int_0^\infty |f(t)|^2 dt$  konvergiraju
- Uz  $f(t) = e(t)$  iz Parsevalove jednadžbe (20-5) slijedi ISE-kriterij:

$$I_3 = \int_0^\infty e^2(t) dt = \frac{1}{2\pi j} \int_{-j\infty}^{+j\infty} E(s)E(-s) ds \quad (20-6)$$

- U slučaju da je  $E(s)$  racionalna funkcija

$$E(s) = \frac{C(s)}{D(s)} = \frac{c_0 + c_1 s + \dots + c_{n-1} s^{n-1}}{d_0 + d_1 s + \dots + d_n s^n} \quad (20-7)$$

čiji polovi leže u lijevoj poluravnini  $s$ -ravnine tada se ISE kriterij (20-6) može odrediti pomoću **izračunavanja reziduuma**. U **Tablici 20.2** dani su analitički izrazi za ISE kriterij za sustave do četvrtog reda ( $l_{3,1}$ ,  $l_{3,2}$ ,  $l_{3,3}$ ,  $l_{3,4}$ ).

$l_{3,1} = \frac{c_0^2}{2d_0d_1}$
$l_{3,2} = \frac{c_1^2d_0 + c_0^2d_2}{2d_0d_1d_2}$
$l_{3,3} = \frac{c_2^2d_0d_1 + (c_1^2 - 2c_0c_2)d_0d_3 + c_0^2d_2d_3}{2d_0d_3(-d_0d_3 + d_1d_2)}$
$l_{3,4} = \frac{c_3^2(-d_0^2d_3 + d_0d_1d_2) + (c_2^2 - 2c_1c_3)d_0d_1d_4 + (c_1^2 - 2c_0c_2)d_0d_3d_4 + c_0^2(-d_1d_4^2 + d_2d_3d_4)}{2d_0d_4(-d_0d_3^2 - d_1^2d_4 + d_1d_2d_3)}$

Tablica 20.2 : ISE kriterij  $l_{3,n}$  za racionalnu funkciju  $E(s)$  reda  $n = 1, 2, 3, 4$

- Pretpostavimo da je potrebno odrediti optimalne parametre regulatora regulacijskog kruga u smislu minimizacije ISE kriterija. Uz zadanu vodeću odnosno poremećajnu veličinu ISE kriterij postaje funkcijom parametara regulatora  $r_1, r_2, \dots, r_p$

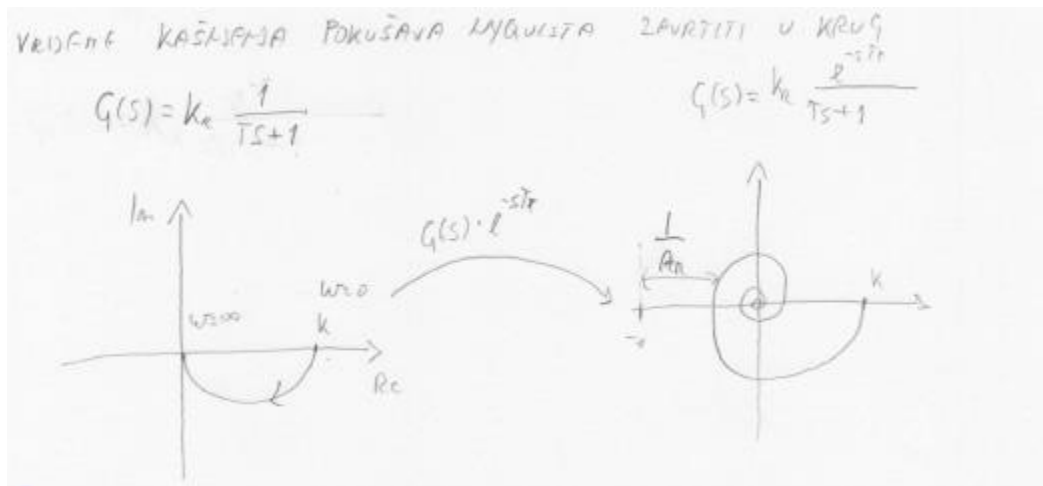
$$I_3 = \int_0^{\infty} [e(t) - e_{\infty}]^2 dt = I_3(r_1, r_2, \dots, r_p) \quad (20-8)$$

a cilj je pronaći optimalne vrijednosti parametara  $r_1^*, r_2^*, \dots, r_p^*$  (vidi izraz (20-3))

- Optimalne vrijednosti parametara  $r_1^*, r_2^*, \dots, r_p^*$  dobiju se rješenjem sustava jednačbi (koje slijede iz tzv. nužnog uvjeta optimalnosti):

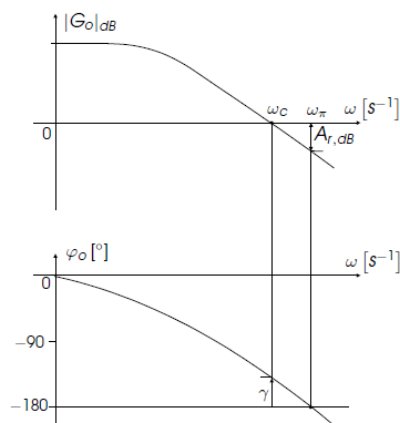
$$\left. \frac{\partial I_3}{\partial r_1} \right|_{r_1^*, \dots, r_p^*} = 0, \quad \left. \frac{\partial I_3}{\partial r_2} \right|_{r_1^*, \dots, r_p^*} = 0, \quad \dots, \quad \left. \frac{\partial I_3}{\partial r_p} \right|_{r_1^*, \dots, r_p^*} = 0, \quad (20-9)$$

29. Kako izgleda Nyquistov dijagram za element transportnog kašnjenja i kako izgleda kad se zakasni neki dijagram s tim elementom.



30. Zašto radimo na otvorenom Bode-a

- Iz karakterističnih veličina otvorenog regulacijskog kruga u frekvencijskom području mogu se odrediti neposredni pokazatelji kvalitete zatvorenog regulacijskog kruga
- Pretpostavimo da otvoreni regulacijski krug  $G_o(s)$  ima statičko pojačanje ( $G_o(0)$  konačnog iznosa) čiji je kvalitativni Bodeov dijagram prikazan na Slici 12.9, s naznačenima presječnom frekvencijom  $\omega_c$  i faznim osiguranjem  $\gamma$



Slika 12.9 : Kvalitativni Bodeov dijagram statičkog sustava



### 31. Hurwitzov kriterij stabilnosti

- Polinom

$$P(s) = a_n s^n + a_{n-1} s^{n-1} + \dots + a_1 s + a_0 = a_n (s - s_{p1})(s - s_{p2}) \dots (s - s_{pn})$$

naziva se Hurwitzovim polinomom ako svi korijeni  $s_{pk}$  ( $k = 1, 2, \dots, n$ ) imaju negativan realni dio

- Linearni sustav je asimptotski stabilan ako je njegov karakteristični polinom Hurwitzov polinom
- Hurwitzov kriterij stabilnosti može se izraziti pomoću nekoliko uvjeta koje se postavlja na koeficijente Hurwitzova polinoma pri čemu se polinom svodi na oblik u kojem je  $a_n > 0$ :

a) Svi koeficijenti  $a_i$ ,  $i = 0, \dots, n$ , imaju pozitivan predznak

b) Sljedećih  $n - 1$  determinanata su pozitivne:

$$D_1 = a_1 > 0,$$

$$D_2 = \begin{vmatrix} a_1 & a_0 \\ a_3 & a_2 \end{vmatrix} > 0,$$

$$D_3 = \begin{vmatrix} a_1 & a_0 & 0 \\ a_3 & a_2 & a_1 \\ a_5 & a_4 & a_3 \end{vmatrix} > 0,$$

⋮

$$D_{n-1} = \begin{vmatrix} a_1 & a_0 & \dots & 0 \\ a_3 & a_2 & \dots & 0 \\ \vdots & \vdots & \dots & \vdots \\ 0 & 0 & \dots & a_{n-1} \end{vmatrix} > 0$$

- Sljedeći poredak koeficijenata može poslužiti za postavljanje Hurwitzovih determinanata:

$$\begin{array}{cccccccc} D_1 & \boxed{a_1} & a_0 & 0 & 0 & 0 & \dots \\ D_2 & \boxed{a_3} & a_2 & a_1 & a_0 & 0 & \dots \\ D_3 & \boxed{a_5} & a_4 & a_3 & a_2 & a_1 & \dots \\ D_4 & \boxed{a_7} & a_6 & a_5 & a_4 & a_3 & \dots \\ & \cdot & \cdot & \cdot & \cdot & \cdot & \\ & \cdot & \cdot & \cdot & \cdot & \cdot & \\ & \cdot & \cdot & \cdot & \cdot & \cdot & \end{array}$$

- Na glavnoj dijagonali su koeficijenti  $a_1, a_2, \dots, a_n$  (rastući koeficijenti od desna na lijevo)
- Hurwitzov kriterij prikladan je kako za ispitivanje stabilnosti, uz poznate koeficijente  $a_i$ , tako i za određivanje područja vrijednosti podesivih parametara sustava (parametara regulatora) uz koje je sustav upravljanja asimptotski stabilan



### 32. Juryjev kriterij stabilnosti

- Polazište za analizu stabilnosti prema Juryu (odnosno Schur-Cohnu) je karakteristična jednačba sustava:

$$f(z) = 1 + G_0(z) = a_0 + a_1z + a_2z^2 + \dots + a_nz^n = 0 \quad (18-5)$$

- Za analizu stabilnosti oblikuje se sljedeća tablica:

Redak	$z^0$	$z^1$	$z^2$	...	$z^{n-k}$	...	$z^{n-2}$	$z^{n-1}$	$z^n$
1	$a_0$	$a_1$	$a_2$	...	$a_{n-k}$	...	$a_{n-2}$	$a_{n-1}$	$a_n$
2	$a_n$	$a_{n-1}$	$a_{n-2}$	...	$a_k$	...	$a_2$	$a_1$	$a_0$
3	$b_0$	$b_1$	$b_2$	...	$b_{n-k}$	...	$b_{n-2}$	$b_{n-1}$	
4	$b_{n-1}$	$b_{n-2}$	$b_{n-3}$	...	$b_{k-1}$	...	$b_1$	$b_0$	
5	$c_0$	$c_1$	$c_2$	...	$c_{n-k}$	...	$c_{n-2}$		
6	$c_{n-2}$	$c_{n-3}$	$c_{n-4}$	...	$c_{k-2}$	...	$c_0$		
⋮				⋮		⋮			
$2n-5$	$p_0$	$p_1$	$p_2$	$p_3$					
$2n-4$	$p_3$	$p_2$	$p_1$	$p_0$					
$2n-3$	$q_0$	$q_1$	$q_2$						

- Koeficijenti u retcima  $(2k+2)$  i  $(2k+1)$  poredani su obrnutim redoslijedom ( $k = 0, 1, 2, \dots, n$ )
- Koeficijenti u retcima 3 do  $(2n-3)$  računaju se na sljedeći način:

$$b_k = \begin{vmatrix} a_0 & a_{n-k} \\ a_n & a_k \end{vmatrix}, \quad c_k = \begin{vmatrix} b_0 & b_{n-k-1} \\ b_{n-1} & b_k \end{vmatrix}, \quad d_k = \begin{vmatrix} c_0 & c_{n-k-2} \\ c_{n-2} & c_k \end{vmatrix},$$

$$\vdots$$

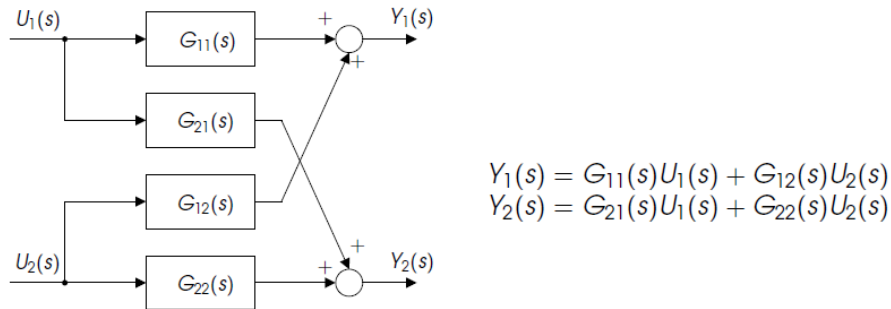
$$q_0 = \begin{vmatrix} p_0 & p_3 \\ p_3 & p_0 \end{vmatrix}, \quad q_1 = \begin{vmatrix} p_0 & p_2 \\ p_3 & p_1 \end{vmatrix}, \quad q_2 = \begin{vmatrix} p_0 & p_1 \\ p_3 & p_2 \end{vmatrix} \quad (18-6)$$

- Nužni i dovoljni uvjeti da korijeni karakteristične jednačbe (18-5) budu po iznosu manji od 1 su:
  - Uvjet a) :  $f(1) > 0$ ,  $(-1)^n f(-1) > 0$
  - Uvjet b) :  $|a_0| < |a_n|$ ,  $|b_0| > |b_{n-1}|$ ,  $|c_0| > |c_{n-2}|$ ,  $|d_0| > |d_{n-3}|$ , ...  
 $|q_0| > |q_2|$
- Ako neki od navedenih uvjeta nije ispunjen, sustav je nestabilan

### 33. Matrice:

- a. sustav prikazan u matricnom obliku + shema

Primjer 8.3: MIMO sustav s dva ulaza i dva izlaza



Slika 8.5 : MIMO sustav

$$\begin{bmatrix} Y_1(s) \\ Y_2(s) \end{bmatrix} = \begin{bmatrix} G_{11}(s) & G_{12}(s) \\ G_{21}(s) & G_{22}(s) \end{bmatrix} \begin{bmatrix} U_1(s) \\ U_2(s) \end{bmatrix}$$

- b. izvesti formulu za prijenosnu matricu (izvod kako se dobije  $C(sI-A)^{-1}B+D$ )

Dobivanje  $G(s)$  iz prikaza u prostoru stanja – SISO sustav (1)

- Promotrimo SISO sustav:

$$\begin{aligned} \dot{\mathbf{x}}(t) &= \mathbf{A}\mathbf{x}(t) + \mathbf{b}u(t), \quad \mathbf{x}(0^-) = 0, \\ y(t) &= \mathbf{c}\mathbf{x}(t) + du(t) \end{aligned} \quad (8-40)$$

- L-transformacija diferencijalne jednačbe iz (8-40) daje:

$$\begin{aligned} s\mathbf{X}(s) &= \mathbf{A}\mathbf{X}(s) + \mathbf{b}U(s), \\ (s\mathbf{I} - \mathbf{A})\mathbf{X}(s) &= \mathbf{b}U(s), \\ \mathbf{X}(s) &= (s\mathbf{I} - \mathbf{A})^{-1}\mathbf{b}U(s) \end{aligned} \quad (8-41)$$

gdje je  $\mathbf{I}$  jedinična matrica

- L-transformacija izlazne jednačbe daje:

$$Y(s) = \mathbf{c}\mathbf{X}(s) + dU(s) \quad (8-42)$$

- Kombiniranjem (8-41) i (8-42) proizlazi:

$$\frac{Y(s)}{U(s)} = G(s) = \mathbf{c}(s\mathbf{I} - \mathbf{A})^{-1}\mathbf{b} + d$$

- Zaključno se može pisati:

$$G(s) = \mathbf{c}(s\mathbf{I} - \mathbf{A})^{-1}\mathbf{b} + d \triangleq \frac{b_ms^m + \dots + b_1s + b_0}{a_ns^n + \dots + a_1s + a_0} \quad (8-43)$$

- Za MIMO sustave (procese) imamo:

$$\begin{aligned} [u_1, u_2, \dots, u_p]^T &= \mathbf{u}, \\ [y_1, y_2, \dots, y_q]^T &= \mathbf{y}, \end{aligned}$$

te je

$$\mathbf{Y}(s) = \mathbf{G}(s)\mathbf{U}(s) \quad (8-44)$$

- $\mathbf{G}(s)$  se naziva **prijenosnom matricom** (engl. transfer matrix)

- c. za diskretni sustav Predavanje 17. Slajdovi 8.-24.